

ДВУКРАТНОЕ РЕЗОНАНСНОЕ РАССЕЯНИЕ СВЕТА С УЧАСТИЕМ АКУСТИЧЕСКИХ ФОНОНОВ В CdS

Собиров М. М., Примбердиев К. Ж.

Теоретически исследовано двукратное резонансное рассеяние света с участием акустических фононов в кристалле CdS. Сопоставляя теоретические и экспериментальные результаты, мы определили значения констант деформационного потенциала.

Двукратное резонансное рассеяние света с участием акустических фононов (манделштам-бриллюэновское рассеяние) экспериментально наблюдалось Винтерлингом и Котелесом при исследовании спектров вторичного излучения кристалла CdS, когда частота возбуждающего лазерного излучения настраивалась на частоту основного состояния A -экситона ($n=1$) [1, 2]. В настоящей работе в рамках теории двухфононного рассеяния экситонных поляритонов в одноосных кристаллах типа $A^{IV}B^{VI}$, построенной в [3], проведен теоретический анализ этих экспериментальных спектров. В [3] эта теория была использована для расчета спектров излучения ($LA+LO$) и ($TA+LO$).

Как в [1, 2], рассматривается геометрия опыта $X(YY)X$ или $k_0, k \parallel X, e_0, e \parallel Y, Z \parallel C_6$ (рис. 4). При резонансном возбуждении спектральная интенсивность двукратно рассеянного назад излучения с учетом однократного зеркального отражения поляритонов от внутренней поверхности кристалла определяется выражением

$$I(\omega, \omega_0) = J(\omega_0) \sum_{\beta} \frac{T_{0\beta}(\omega)}{n_{\beta}^2(\omega)} \rho_{\beta}(\omega) \sum_{\beta_0=TA, T2} \frac{T_{\beta_0}(\omega_0)}{\mathcal{V}_{\beta_0}(\omega_0)} \times \\ \times \left\{ \frac{1}{\alpha_{\beta_0} + \alpha_{\beta}} \sum_{\beta'} \iint \frac{d\omega' d\Omega'}{\bar{\alpha} |\mathcal{V}_{\beta'X}|} \rho_{\beta'}(\omega', \Omega') W_{\beta k, \beta' k'} W_{\beta' k', \beta_0 k_0} + \right. \\ \left. + \sum_{\beta_1, \beta_2} \iint \frac{d\omega'' d\Omega''}{\bar{\alpha}^2} \rho_{\beta_2}(\omega'', \Omega'') W_{\beta k, \beta_2 k''} R_{\beta_2 \beta_1} W_{\beta_1 k'', \beta_0 k_0} \right\}, \quad (1)$$

где $W_{\beta k, \beta' k'}$ — вероятность перехода в единицу времени поляритона из состояния (β', k') в состояние (β, k) . Здесь и в дальнейшем будем придерживаться обозначений, приведенных в [3].

Вероятность перехода пропорциональна сумме квадратов матричных элементов деформационного и пьезоэлектрического механизмов экситон-фононного взаимодействия:

$$W_{\beta k, \beta' k'} \sim \{ |V_{\mathbf{q}, \nu}^{D\Pi}|^2 + |V_{\mathbf{q}, \nu}^{P\Pi}|^2 \}, \quad (2)$$

где

$$|V_{\mathbf{q}, LA}^{D\Pi}|^2 = q^2 [D_c(\bar{\mu}) f_c - D_v(\bar{\mu}) f_v]^2, \\ \sum_{\nu=1,2} |V_{\mathbf{q}, TA}^{D\Pi}|^2 = q^2 \sin^2 \bar{\theta} \cos^2 \bar{\theta} \{ [D_{\parallel}^{(\nu)} - D_{\perp}^{(\nu)}] f_c - [D_{\parallel}^{(\nu)} - D_{\perp}^{(\nu)}] f_v \}^2, \\ |V_{\mathbf{q}, \nu}^{P\Pi}|^2 = \left(\frac{e}{\epsilon_0 \epsilon_0 q^2} e_{i, nm} e_m^* q_i q_n \right)^2 (f_c - f_v)^2.$$

$$D_l(\bar{\mu}) = D_{\perp}^{(l)} + (D_{\parallel}^{(l)} - D_{\perp}^{(l)}) \bar{\mu}^2, \quad l = c, v, \quad \bar{\mu} = \cos \bar{\theta}, \quad \bar{\theta} = (\varphi, C_0),$$

$$f_c = \{1 + (aq/2)^2 [(m_{\perp}^{(c)}/M_{\perp})^2 \sin^2 \bar{\theta} + (m_{\parallel}^{(c)}/M_{\parallel})^2 \cos^2 \bar{\theta}]\}^{-2},$$

$$f_v = \{1 + (aq/2)^2 [(m_{\perp}^{(v)}/M_{\perp})^2 \sin^2 \bar{\theta} + (m_{\parallel}^{(v)}/M_{\parallel})^2 \cos^2 \bar{\theta}]\}^{-2}.$$

На рис. 1 схематически показаны два основных типа двухфононных процессов вблизи резонанса в случае, когда частота возбуждающего света превышает продольную частоту ω_L . Свет проходит в кристалл в основном в виде поляритонной ветви $T2$, так как $T_{10}(\omega) \gg T_{20}$ и $\alpha_1(\omega_0) \gg \alpha_2(\omega_0)$, где T_{10}, T_{20} —

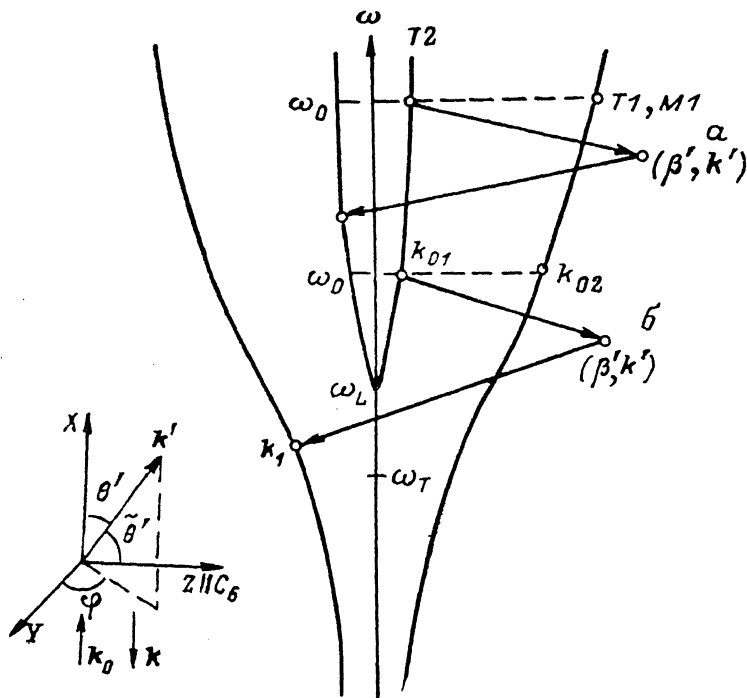


Рис. 1. Основные типы двухфононных процессов вблизи резонанса и геометрия опыта.
 $T1, T2, M1$ — номера волн поперечной и смешанной поляризаций.

коэффициенты пропускания излучения поверхностью кристалла. На следующем этапе поляритон ветви $T2$, испуская один акустический фотон, будет рассеиваться в промежуточное состояние $(T1, k')$ или $(M1, k')$. Далее возможны переходы $(T1, M1) \rightarrow T2$ (процессы a) или $(T1, M1) \rightarrow T1$ (процессы b). При $\omega_0 > \omega_T + 2\omega_{LT}$ для вкладов в интенсивность выходящего излучения, обусловленных процессами a и b , можно написать следующее оценочное соотношение:

$$\frac{I [T2 \rightarrow (T1, M1) \rightarrow T2]}{I [T2 \rightarrow (T1, M1) \rightarrow T1]} \approx \frac{\mathcal{V}_{T2}(\omega)}{\mathcal{V}_{T1}(\omega)} \gg 1; \quad (3)$$

здесь учтено тождество $T_{T1}/\mathcal{V}_{T2} = T_{T2}/\mathcal{V}_{T1}$. Из (3) следует, что когда частота возбуждающего света $\omega_0 \gg \omega_T + 2\omega_{LT}$, при низкой температуре процессами типа b можно пренебречь. В случае $\omega_0 \leq \omega_T + 2\omega_{LT}$ доминируют только процессы типа a . Для процессов a слагаемое в (1), связанное с зеркальным отражением, мал по сравнению с основным слагаемым по параметру $[\alpha(\omega) + \alpha_2(\omega_0)]/\alpha_1(\omega) \ll 1$. Численные оценки показали, что и для процессов b вклад зеркального отражения также несуществен.

На рис. 2 приведены результаты расчета на ЭВМ спектральной интенсивности выходящего из кристалла излучения при возбуждении светом с частотами $\omega_0 = \omega_T + 4.23\omega_{LT} = 20655$ (a) и $\omega_0 = \omega_T + 1.75\omega_{LT} = 20.620$ см^{-1} (b) для про-

цессов $2LA$, $2TA$, $(TA+LA)$ и $(LA+TA)$. Сначала расчет проводился при тех же значениях параметров, приведенных в [3], также при $s_{LA}=4500$, $s_{TA}=1760$ м/с, $T=2$ К. Однако в этом случае при сравнении интенсивностей экспериментальных и теоретических двухфононных пиков получается некоторое расхождение. Тогда для полного согласия экспериментальных и теоретических кривых для интенсивности значения констант деформационного потенциала изменяли как подгочный параметр, так как в настоящее время в литературе нет однознач-

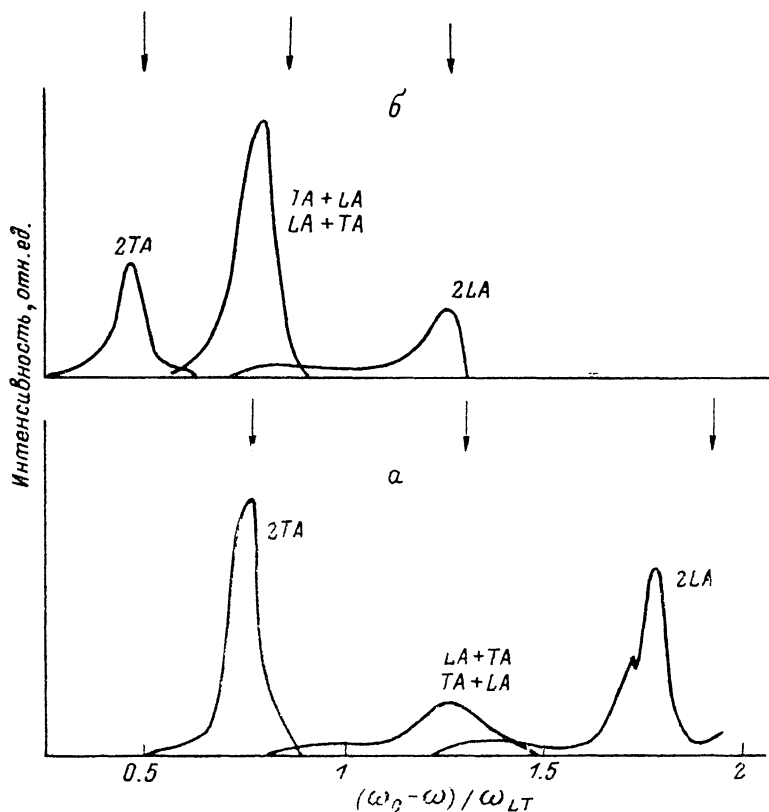


Рис. 2. Частотные зависимости интенсивности выходящего из кристалла излучения при $\omega_0 = \omega_T + 4.23 \omega_{LT}$ (а) и $\omega_0 = \omega_T + 1.75 \omega_{LT}$ (б).

Стрелками указаны положения максимумов в экспериментальных спектрах при тех же значениях ω_0 .

ных данных о константах D . При этом считали, что $D_{\parallel}^{(c)} = D_{\perp}^{(c)} = D^{(c)}$, а значения $D_{\parallel}^{(e)}$, $D_{\perp}^{(e)}$ подбирали произвольно. Теоретические спектры, полученные на рис. 2, рассчитаны при следующих значениях констант деформационного потенциала: $D_{\parallel}^{(c)} = D_{\perp}^{(c)} = 1$, $D_{\parallel}^{(e)} = 8.1$, $D_{\perp}^{(e)} = 2.3$ эВ. В экспериментах обычно определяются только суммарные значения $D_{\parallel}^{(c)} + |D_{\parallel}^{(e)}|$ и $D_{\perp}^{(c)} + |D_{\perp}^{(e)}|$. Например, в работе [4] для констант деформационного потенциала приводятся следующие значения: $D_{\parallel}^{(c)} + |D_{\parallel}^{(e)}| = 4.1$, $D_{\perp}^{(c)} + |D_{\perp}^{(e)}| = 1.6$ эВ. В отличие от [3] здесь значения эффективных масс электрона взяты как $m_{\parallel}^{(e)} = m_{\perp}^{(e)} = 0.20m_0$.

Расчеты показали, что интенсивности $2TA$ -пиков определяются пьезоэлектрическим механизмом, а $2LA$ -пиков деформационным механизмом взаимодействия экситонов с фононами. При расчете $(TA+LA)$ - и $(LA+TA)$ -пиков достаточно учесть пьезоэлектрический механизм с TA -фононами и деформационный механизм с LA -фононами.

При этих значениях эффективных масс электрона и констант деформационного потенциала повторяли расчет для $(LO+LA)$ - и $(LO+TA)$ -процессов (см. [3]), было получено хорошее согласие экспериментальных и расчетных кривых.

При $\omega_0 = \omega_T + 4.23 \omega_{LT}$ выполняется неравенство $k_0/k' \ll 1$, поэтому $q_1 \approx q_2 \approx k'$. В этом случае для оценки максимального и минимального частотных сдвигов $\Delta\omega = \omega_0 - \omega$ на ветви $T1$ можно воспользоваться формулой

$$\Delta\omega(\theta') = (s_1 + s_2) k'(\theta'), \quad (4)$$

где θ' — угол между осью C_3 и волновым вектором поляритона TI в промежуточном состоянии. В случае параболического энергетического спектра

$$k'(\theta') = \left[\frac{2(\omega_0 - \omega_T)}{\hbar} \right]^{-1/2} \left[\frac{\cos^2 \theta'}{M_1} + \frac{\sin^2 \theta'}{M_2} \right]^{-1}. \quad (5)$$

Подставляя (5) в (4), получаем

$$\begin{aligned} \Delta\omega_{\max} &= (s_1 + s_2) \sqrt{2(\omega_0 - \omega) M_1 / \hbar}, \\ \Delta\omega_{\min} &= (s_1 + s_2) \sqrt{2(\omega_0 - \omega) M_2 / \hbar}. \end{aligned} \quad (6)$$

При $\omega_0 = \omega_T + 1.75\omega_{LT} q_1 \approx k'$ и

$$\Delta\omega = \omega_0 - \omega = s_1 k' + s_2 q_2,$$

где $q_2 = (k'^2 + k^2 - 2kk' \cos \theta')^{1/2}$, θ' — угол между k и k' .

Расчеты показали, что в отличие от $(LA+LO)$ - и $(TA+LO)$ -рассеяний в процессах с участием акустических фононов вклады волн смешанной поляризации в промежуточных состояниях оказались несущественными.

В конце статьи следует остановиться на некотором расхождении теории с экспериментом для частотного сдвига $2LA$ -пика при $\omega_0 = \omega_T + 4.23\omega_{LT}$. Изменяя параметры A -экситона, мы не сблизили его величину с экспериментальным значением. По нашему мнению, это связано с влиянием B -экситона, так как в CdS расстояние между A - и B -экситонами примерно $8\omega_{LT}$.

В заключение выражаем благодарность Е. Л. Ивченко за ценные замечания и обсуждение полученных результатов.

Список литературы

- [1] Winterling G., Koteles E. // Sol. St. Commun. 1977. V. 23. P. 95—98.
- [2] Экситоны. Т. 2. / Под ред. Э. И. Раббы, М. Д. Стерджа. М., 1985.
- [3] Ивченко Е. Л., Собиров М. М. // ФТТ. 1986. Т. 28. В. 7. С. 2033—2031.
- [4] Bear W. S., Dexter R. N. // Phys. Rev. 1964. V. 135A. N 5. P. 1388—1393.

Ферганский
государственный педагогический институт
им. Улугбека

Получена 4.12.1989
Принята к печати 11.04.1990